

# 化纤异形度的计算机数字图象处理

于伟东 谭冬梅

(中国纺织大学)

**【摘要】**本文用计算机数字图象处理技术检测纤维异形度，并用线性回归方法建立了哑铃形中心线和V字形夹角线方程，从而解决了这类异形纤维特征异形度的计算。实验结果表明，该方法测试精度高、快速、准确，且计算机软件具有实用性。

异形纤维的生产和实用在国内发展很快，相应的评定标准亦已发布和实施<sup>[1]</sup>。由于标准主要用手工目测方法，因此在截面形心或特定中心的确定，内、外接圆半径测量中人为影响较大；在检测速度和精度上也存在一定问题。计算机数字图象处理在此方面具有可行和实用性<sup>[2,3]</sup>。通过编定一定的软件程序，不仅可以快速地检测纤维截面形态参数，而且可以灵活准确地评价纤维各异形度值。这对排除人为干扰、提高检测精度和速度极为有利。本文开发了一些软件来解决异形度的实际检测。

## 一、实验方法

1. 试样：三叶形涤纶长丝，哑铃形涤纶短纤和V字形涤纶长丝。

2. 方法：参照标准<sup>[1,4]</sup>，用穿孔切片法制得纤维切片，进行显微摄影( $\geq 500$ 倍)，获得较为清晰的纤维截面像。此像输入数字图象处理系统，经转化器转化成计算机可处理的数字图象。再用所设计的软件程序对数字图象进行检测处理、计算后，得出各异形度指标。由于对实际图象转换得到的数字图象进行检测处理，如实物照片上存在噪声(如刀痕、污物等)就会成为转化后数字图象的噪声而影响分析结果，故图象需经预处理<sup>[5]</sup>。图象预处理包括：图象平滑化，以去除噪声(用中值滤波法)；边缘锐化，以增强图象边缘；直方图均衡化，以提高图象细节，改变并合理明暗比例和分布。此处主要是二值化，即纤维截面为“1”，背景

为“0”。由于本文主要解决三种纤维截面形态的数字图象处理，故采用已处理后的二值图象(见图1)。

三种纤维的整个处理过程见图2。先将整幅图象边界上不完整纤维截面清除(用轮廓抽清除法)，再逐根处理，按标准计算各异形度指标，最后取平均值输出。各根纤维处理的关键是边缘检测，其方法较多，以轮廓跟踪法较为准确、直观。整个过程是沿纤维截面边缘进行抽取<sup>[6]</sup>。每个轮廓点搜寻确定后即标为“2”，这时图象转换为三值象，背景为“0”，纤维截面内点为“1”，截面边缘为“2”。

## 二、结果讨论

### 1. 三叶形纤维异形度检测

(1) 形心点  $O(x, y)$  确定，因图象为均匀密度二维象，故只需取轮廓点，求  $O$  点座标：

$$x = \sum_{i=1}^n x_i/n; \quad y = \sum_{i=1}^n y_i/n$$

式中： $x_i$  和  $y_i$  为各轮廓点座标， $n$  为轮廓点总数。

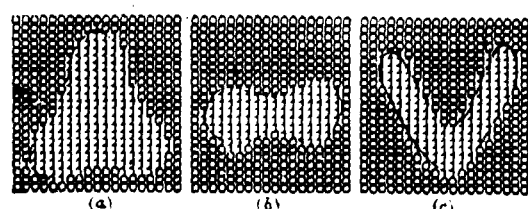


图 1 异形纤维二值图象  
(a)-三叶形；(b)-哑铃形；(c)-V字形。

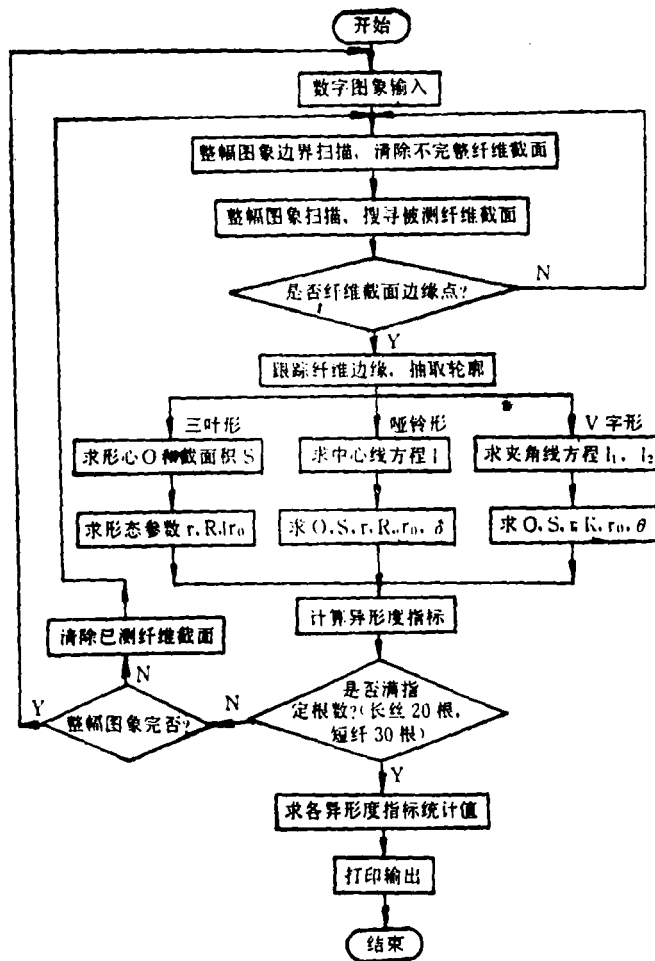


图 2 数字图象处理框图

(2) 纤维截面积  $S$  可根据每个象素点为一个单位面积, 则  $S = N + n$  ( $N$  为纤维截面内点的总数)。

(3) 纤维截面的内、外接圆半径  $r$ ,  $R$  可在确定形心至轮廓最大距离点后, 每隔  $60^\circ \pm (5 \sim 10^\circ)$  范围内搜寻最大或最小半径值(见图

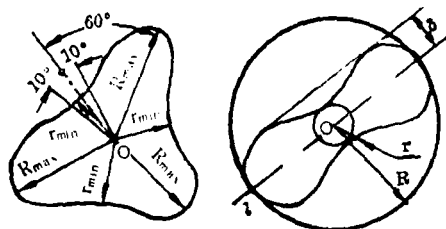


图 3 三叶形纤维

图 4 哑铃形纤维

3), 共得三个  $R_{\max}$  和三个  $r_{\min}$ ; 则  $R = \varepsilon R_{\max}/3$ ,  $r = \varepsilon r_{\min}/3$ 。

(4) 理论半径  $r_0$ , 可根据定义[1, 4]得  $r_0 = \sqrt{S/\pi}$ , 已知  $r$ 、 $R$ 、 $r_0$  可以很方便地求得径向 ( $D_R$ ,  $D_M$ ,  $D_r$ ), 截面 ( $S_R$ ,  $S_M$ ,  $S_r$ ) 异形度各指标<sup>[1, 4]</sup>, 见表 1.

## 2. 哑铃形纤维异形度检测

哑铃形纤维截面的形态参数  $O(x, y)$ 、 $S$ 、 $r$ 、 $R$ 、 $r_0$  的求法与三叶形纤维一样, 结果见表 1. 只是短纤维需求 30 根的平均<sup>[1, 4]</sup>. 但其特征异形度  $C_b$  中, 厚度参数  $\delta$  的检测必须先求得中心线 (长轴)  $l$  的方程(见图 4). 由于实际上  $l$  并不一定是最大两半径轮廓点的连线, 所以准确的方法是对哑铃截面象素点的趋势作线性回归. 这里用最小二乘法可很方便地求得  $l$  方程. 然后以一定步长从形心向外作  $l$  的垂直线交哑铃形轮廓, 得一组厚度参数. 显然两侧的最大厚度值的平均值即为  $2\delta$ . 则特征异形度(哑铃度)  $C_b = (\delta - r)/\delta$ .

## 3. V 字形纤维异形度检测

表 1 三种纤维异形度指标计算和实测结果

指 标	$D_R$	$D_M$	$D_r$	$S_R$	$S_M$	$S_r$	$C_b$	$\theta$
图象 处理	三叶形	43.85	60.64	64.07	70.48	47.27	57.81	-
	哑铃形	70.03	102.54	59.68	91.24	69.43	63.98	49.42
	V字形	72.34	99.80	146.37	94.71	60.45	64.26	91.30
人工 实测	三叶形	43.62	59.93	62.71	68.13	46.07	55.12	-
	哑铃形	70.11	103.60	59.93	90.78	71.05	65.16	49.03
	V字形	72.04	98.42	143.74	92.24	58.33	63.17	92.50

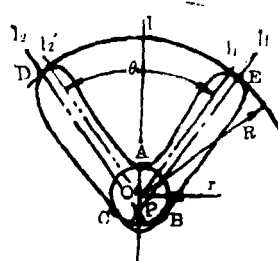


图 5 V字形纤维 定  $\theta$  角的依据，而特定中心应在 V字夹角的平分线上。该趋势仍可用最小二乘法求得。二叉的趋势线分别为  $l_1$ 、 $l_2$ ，其必须平行于  $l'_1$ 、 $l'_2$ 。所以  $\theta$  角可由  $l_1$ 、 $l_2$  的斜率求得。如令  $l$  为  $\theta$  角的平分线，并沿  $l$  从交点  $P$  开始向上搜索，得某点使其到轮廓三点的距离近似相等 ( $OC \approx OB \approx OA$ )，则该点就是特定中心  $O$ ，而此距离则为内切圆半径  $r$ 。再寻找  $O$  点到 V字二叉端点的最远距离，此可在  $l_1$  和  $l_2$  与轮廓的交点 ( $D$  和  $E$ ) 附近 5~10 轮廓点内搜寻到，则外接圆半径为  $R = (R_{\max} + R_{E\max}) / 2r_0$  和  $S$  的求法同前，这样 V字形纤维的各异形度参数也可求得 (参见表 1)。

这里需指出，V字形与哑铃形的线性回归对象不同，后者根据整体象素点的分布回归，因为这决定了哑铃形的卡轴趋势，而前者 V字形由于单叉头端圆形较多，结合端又不易合理分割，且即使分割开，两端的形态影响亦会导致  $l_1$  和  $l_2$  的歪斜 (见图 6)，使  $\theta$  值不准。故我们采取轮廓线直线段线性回归。其步骤是首

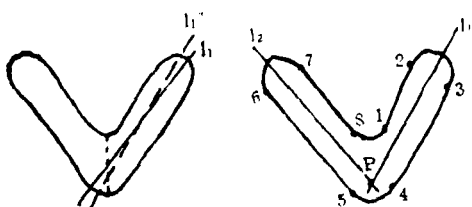


图 6 整体象素回归偏移

V字形纤维的形心在截面外 (见图 5)，如何由数字图象求得该特定中心和 V字夹角  $\theta$  是关键。实测中 V字二叉的趋势是确

先利用计算机搜寻轮廓线上斜率变化  $\geq \varepsilon$  或  $\leq \varepsilon$  点，即  $k_i - k_{i-1} \geq |\varepsilon|$ ， $k$  为斜率， $\varepsilon$  为设定变化阈值。可得 8 点，四段直线，见图 7。然后将 12、84 回归成  $l_1$ ，56、78 回归成  $l_2$ 。这样就巧妙地回避了前述问题。

### 三、结 论

综上分析，计算机图象处理结果与按标准方法人工实测结果对比，相当吻合。尤其是特征异形度指标  $C_s$  和  $\theta$  相当一致，说明图象处理方法较好地模拟了人工判定  $\delta$  和  $\theta$  的过程。主要异形度指标  $D_R$  的最大误差  $\leq 0.3$ ； $S_r$  看来图像处理结果更为准确。因为其直接求得各真实截面积，而人工方法只能用长丝线密度来换算一个截面积平均值。因之可得出以下结论：

1. 用数字图象处理技术可准确快速测得各根纤维截面的  $S$  和  $r_0$ ，并使测量精度大大提高。
2. 用最小二乘法线性回归，使哑铃形厚度和 V字形夹角的计算机图象处理测量能准确快速地进行。
3. 根据这三种异形纤维所编制成的异形度检测和处理软件，在纤维异形度实测中具有实用价值和经济效益。

### 参 考 资 料

- [1] 《纺织标准》，FJ/T 5200-02-91。
- [2] Errord J. W. and Robert M. H. T. R. J. 1989, 1, 1.
- [3] Robson D. Weedall P. J and Havwood R. J., T. R. J., 1989, 12, 713.
- [4] 《纤维标准与检验》，1992, 4, p. 12。
- [5] R.C. 冈薄雷斯, P. 温茨著: 《数字图象处理》，科学出版社，1982。
- [6] 《中国纺织大学学报》，1992, 1, p. 12。

图 7 直线段搜寻